

The rather high R values are believed to be due to the systematic errors known to affect the observed intensities. The available experimental data are not considered good enough to sustain a more accurate structure determination than the tetragonal approximation reported here. The main features of the structure, however, are probably correct. Like the previously studied tetraborate structures, $\text{Ag}_2\text{O} \cdot 4\text{B}_2\text{O}_3$ (Krogh-Moe, 1965a) and $\text{Na}_2\text{O} \cdot 4\text{B}_2\text{O}_3$ (Hyman, Perloff, Mauer & Block, 1967), the $\text{BaO} \cdot 4\text{B}_2\text{O}_3$ structure consists of two separate interlocking three-dimensional infinite networks, each of which is built up from alternating triborate and pentaborate groups. Triborate groups are linked only to pentaborate groups as in the sodium tetraborate (whereas the group sequence is different in the silver tetraborate). Fig. 1 shows one of the twin networks in a projection along the c axis.

Bond lengths are fairly inaccurate, ranging for instance from 1.1 to 1.7 Å for the individual boron–oxygen bonds. The average boron–oxygen bond length of 1.46 Å is in better agreement with the expected values, however. The average bond length in each boron–oxygen polyhedron shows less scatter, ranging from 1.56 to 1.33 Å (the tetrahedral bond length averages being larger than the triangular). With the systematic errors in mind, no significance should be attached to the details of the structure, such as bond lengths (or the distortions of the triborate and pentaborate groups).

Further support for the above structure proposal was obtained from infrared spectroscopy. The infrared spectrum of crystalline barium tetraborate is fairly similar to that of crystalline silver tetraborate, as shown in Fig. 2. Krogh-Moe

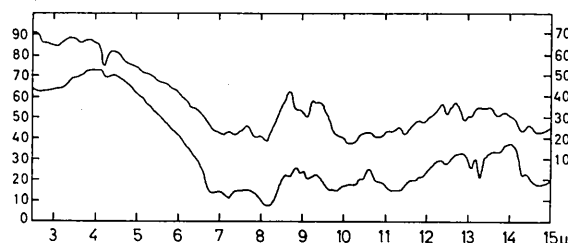


Fig. 2. Infrared spectra, in the range from 2.5 to 15 microns, of crystalline barium tetraborate (upper curve) and crystalline silver tetraborate (lower curve). The transmission percentages to the right refer to the upper curve. The spectra were obtained with KBr discs.

(1965b) has previously demonstrated that the infrared spectra of silver tetraborate and sodium tetraborate look much alike. The infrared spectra therefore confirm the close structural relationship of barium tetraborate with the silver and sodium tetraborates.

References

- HYMAN, A., PERLOFF, A., MAUER, F. & BLOCK, S. (1967). *Acta Cryst.* **22**, 815.
KROGH-MOE, J. (1960). *Acta Chem. Scand.* **14**, 1229.
KROGH-MOE, J. (1965a). *Acta Cryst.* **18**, 77.
KROGH-MOE, J. (1965b). *Phys. Chem. Glasses*, **6**, 46.
LEVIN, E. M. & McMURDIE, H. F. (1949). *J. Amer. Ceram. Soc.* **32**, 99.

Korrekturen zu den Angaben ‘Untergruppen’ in den Raumgruppen der *Internationalen Tabellen zu Bestimmung von Kristallstrukturen* (1935), Band 1. Corrections to the sections ‘Untergruppen’ of the space groups in *Internationale Tabellen zur Bestimmung von Kristallstrukturen* (1935), Vol. 1. Von E. ASCHER, Battelle Institute, Advanced Studies Center, 7, route de Drize, 1227 Carouge, Genève, Schweiz, und V. GRAMLICH* und H. WONDRACTSCHEK, Mineralogisches Institut der Universität (Technische Hochschule), 75 Karlsruhe, Kaiserstrasse 12, Deutschland

(Eingegangen am 13. Januar 1969)

1935 erschien der erste Band der *Internationalen Tabellen zur Bestimmung von Kristallstrukturen*. Die Beschreibung der Raumgruppen in diesem Band enthält unter der Überschrift ‘Untergruppen’ Angaben über gewisse Untergruppen der Raumgruppen. Die Tabellen enthalten verschiedene Irrtümer (Koptsik (1966) übernahm diese Angaben mit nur wenigen Korrekturen), die im folgenden korrigiert werden sollen. Man beachte:

1. Nur die ‘zellengleichen’ Untergruppen (in denen alle Translationen der Ausgangsraumgruppe erhalten bleiben) sind in Band I von 1935 aufgeführt.

2. Die Hermann–Mauguin Symbole von 1935 stimmen nicht in allen Fällen mit den Symbolen der *International*

Vol. 1 of *Internationale Tabellen zur Bestimmung von Kristallstrukturen* was published in 1935. In this Volume the description of the space groups includes some remarks on certain subgroups of the space groups under the headings ‘Untergruppen’. Koptsik (1966) reproduced these data with partial corrections only. Several errors have been found and are corrected in the following. Please note:

- (i) Only the ‘zellengleiche’ subgroups (in which all translations of the original space group are retained) are given in the volume.
- (ii) The Hermann–Mauguin symbols of 1935 do not always agree with the symbols given in *International Tables*

* Gegenwärtige Anschrift: Institut f. Kristallographie und Petrographie der ETH, 8006 Zürich, Sonneggstrasse 5, Schweiz.

Tables for X-ray Crystallography (1952) Band I, überein. Unsere Verbesserungen beziehen sich auf die Symbole von 1935.

3. Nach unserer Kenntnis sind seit 1935 keine Arbeiten veröffentlicht worden, welche die Untergruppenbeziehungen der Raumgruppen zueinander betrachten. Lediglich zwei interne Berichte:

- (a) E. Ascher: *Lattices of subgroups (with same unit cell) of the space groups*
 - (b) J. Neubüser und H. Wondratschek: *Tables of the maximal subgroups of the space groups*
- stehen auf Anfrage in begrenzter Zahl zur Verfügung und können bei den Autoren angefordert werden.

A. Niggli, Zürich/Schweiz, hat früher für zahlreiche Raumgruppen die zellengleichen Untergruppen abgeleitet. Wir danken ihm für den Vergleich unserer Korrekturen mit seinen Aufzeichnungen.

Seite 96 C_s^4-Cc	Ergänze: Untergruppe C_1^1-C1 ;	Page 96 C_s^4-Cc	Add subgroup C_1^1-C1 .
Seite 104 C_{2v}^3-Pcc	Ergänze: Untergruppe C_1^1-P1 ;	Page 104 C_{2v}^3-Pcc	Add subgroup C_1^1-P1 .
Seite 106 C_{2v}^6-Pnc	Ersetze: $Pc11$ durch Pc sowie Pn durch $Pn11$;	Page 106 C_{2v}^6-Pnc	For $Pc11$ read Pc and for Pn read $Pn11$.
Seite 107 C_{2v}^8-Pba	Ergänze: C_1^1-P1 ;	Page 107 C_{2v}^8-Pba	Add C_1^1-P1 .
Seite 130 D_{2h}^9-Pnna	Ersetze: C_5^2 durch C_5^2 ;	Page 130 D_{2h}^9-Pnna	For C_5^2 read C_5^2 .
Seite 131 D_{2h}^7-Pmna	Ersetze: C_{2v}^2 durch C_{2v}^4 ;	Page 131 D_{2h}^7-Pmna	For C_{2v}^2 read C_{2v}^4 .
Seite 133 D_{2h}^9-Pbam	Ersetze: D_2^2 durch D_2^3 ; Streiche in der 3. Zeile die 2. bis 4. Untergruppe ($C_s^2 \dots$ $-P11m$);	Page 133 D_{2h}^9-Pbam	For D_2^2 read D_2^3 ; in line 3 delete the 2nd to 4th sub- groups ($C_s^2 \dots -P11m$). $D_{2h}^{10}-Pccn$
	Ersetze: C_1^1 durch C_1^1 ;		For C_s^1 read C_1^1 .
Seite 138 $D_{2h}^{15}-Pbca$	Ersetze: $P2$ durch $P2_1$;	Page 138 $D_{2h}^{15}-Pbca$	For $P2$ read $P2_1$.
Seite 151 $D_{2h}^{28}-Imma$	Ersetze: C_{2v}^{21} durch C_{2v}^{20} ;	Page 151 $D_{2h}^{28}-Imma$	For C_{2v}^{21} read C_{2v}^{20} .
Seite 152–159 Bei allen monoklinen Untergruppen ist die Orientierung inkonsistent angegeben. Es muss stets heißen $P112$ statt $P2$, $P11m$ statt Pm , $P112/m$ statt $P2/m$ usw.		Pages 152–159	For all the monoclinic subgroups the orien- tation has been stated inconsistently. In all cases read $P112$ for $P2$, $P11m$ for Pm , $P112/m$ for $P2/m$, etc.
Seite 159 $C_{4h}^2-P4_2/m$	Ersetze: P_1 durch $P1$;	Page 159 $C_{4h}^2-P4_2/m$	For P_1 read $P1$.
Seite 160 $C_{4h}^2-P4_2/n$	Ersetze: Pn durch $P11n$;	Page 160 $C_{4h}^2-P2_2/n$	For Pn read $P11n$.
Seite 171 D_{2d}^6-P4c2	Ersetze: C_s^4 durch C_s^2 ;	Page 171 D_{2d}^6-P4c2	For C_s^4 read C_s^2 .
Seite 187 C_{4v}^7-P4mc	Ergänze: Untergruppen: $C_4^3-P4_2$; C_{2v}^1-Pmm ; $C_{2v}^{13}-Ccc$; C_2^1-P112 ; C_s^1-Pm ; C_s^4-Cc ; C_1^1-P1 ;	Page 187 C_{4v}^7-P4mc	Add subgroups $C_4^3-P4_2$, C_{2v}^1-Pmm , $C_{2v}^{13}-Ccc$, C_2^1-P112 , C_s^1-Pm , C_s^4-Cc , C_1^1-P1 .
Seite 198 $D_4^6-P4_{21}$	Ersetze: C_2^2-P2 durch $C_2^2-P2_1$;	Page 198 $D_4^6-P4_{21}$	For C_2^2-P2 read $C_2^2-P2_1$; for P_1 read $P1$.
Seite 205 D_{4h}^2-P4/mcc	Ersetze: P_1 durch $P1$;	Page 205 D_{4h}^2-P4/mcc	For D_4^2 read D_4^1 .
Seite 209 D_{4h}^5-P4/mbm	Ersetze: D_4^2 durch D_4^1 ;	Page 209 D_{4h}^5-P4/mbm	For C_{2h}^2 read C_{2h}^3 .
Seite 213 D_{4h}^8-P4/ncc	Ersetze: C_{2h}^2 durch C_{2h}^3 ;	Page 213 D_{4h}^8-P4/ncc	For $P4_{21}c$ read $P4_{21}c$.
Seite 215 D_{4h}^9-P4/mmc	Ersetze: $Pccm$ durch $Cccm$;	Page 215 D_{4h}^9-P4/mmc	For $Pccm$ read $Cccm$.
Seite 220 $D_{4h}^{13}-P4/mbc$	Ersetze: C_1^1-P112 durch C_2^2-P112 ;	Page 220 $D_{4h}^{13}-P4/mbc$	For C_1^1-P112 read C_2^1-P112 .
Seite 221 $D_{4h}^{14}-P4/mnm$	Ersetze: D_{2d}^8 durch D_{2d}^8 ; Ergänze: C_s^1-P11m ; C_s^2-Pn ; C_s^3-Cm ;	Page 221 $D_{4h}^{14}-P4/mnm$	For D_{2d}^8 read D_{2d}^8 ; add C_s^1-P11m , C_s^2-Pn , C_s^3-Cm .
Seite 223 $D_{4h}^{15}-P4/nmc$	Ersetze: Pmc durch $P4mc$;	Page 223 $D_{4h}^{15}-P4/nmc$	For Pmc read $P4mc$.
Seite 259 $D_{3d}^3-C\bar{3}m$	Ersetze: C_1^1-C3 durch C_1^1-C1 ;	Page 259 $D_{3d}^3-C\bar{3}m$	For C_1^1-C3 read C_1^1-C1 .
Seite 260 $D_{3d}^4-C\bar{3}c$	Ersetze: C_{2h}^4 durch C_{2h}^6 ;	Page 260 $D_{3d}^4-C\bar{3}c$	For C_{2h}^4 read C_{2h}^6 .
Seite 273 $C_{2h}^2-C6_3/m$	Ersetze: C_5^3 durch C_6^6 ;	Page 273 $C_{2h}^2-C6_3/m$	For C_5^3 read C_6^6 .
Seite 276 $D_{3h}^2-C\bar{6}c_2$	Ersetze: C_{2v}^{15} durch C_{2v}^{16} ;	Page 276 $D_{3h}^2-C\bar{6}c_2$	For C_{2v}^{15} read C_{2v}^{16} .
Seite 283 C_{6v}^2-C6cc	Ersetze: Cm durch Cc ; $Cm11$ durch $Cc11$;	Page 283 C_{6v}^2-C6cc	For Cm read Cc ; for $Cm11$ read $Cc11$.
Seite 284 C_{6v}^3-C6cm	Ersetze: C_6^5 durch C_6^6 ;	Page 284 C_{6v}^3-C6cm	For C_6^5 read C_6^6 .

Seite 286 C_{6h}^4-C6mc	Ersetze: C_6^5 durch C_6^6 ;	Page 286 C_{6h}^4-C6mc	For C_6^5 read C_6^6 .
Seite 294 $D_6^5-C6_42$	Ersetze: C_3 durch C_3^2 ;	Page 294 $D_6^5-C6_42$	For C_3 read C_3^2 .
Seite 300 D_{6h}^3-C6/mcm	Ersetze: D_3^1-C32 durch D_3^2-C32 ; Ersetze: $C_{2h}^4-C112_1/m$ durch $C_{2h}^2-C112_1/m$;	Page 300 D_{6h}^3-C6/mcm	For D_3^1-C32 read D_3^2-C32 . For $C_{2h}^4-C112_1/m$ read $C_{2h}^2-C112_1/m$.
	Ersetze: $C_{2h}^4-C2/m11$ durch $C_{2h}^6-C2/c11$;		For $C_{2h}^4-C2/m11$ read $C_{2h}^6-C2/c11$.
	Ersetze: C_2^1-C112 durch $C_2^2-C112_1$;		For C_2^1-C112 read $C_2^2-C112_1$.
Seite 303 D_{6h}^4-C6/mmc	Ersetze: $C_{2h}^1-C112_1/m$ durch $C_{2h}^2-C112_1/m$;	Page 303 D_{6h}^4-C6/mmc	For $C_{2h}^1-C112_1/m$ read $C_{2h}^2-C112_1/m$.
Seite 318 T_h^4-Fd3	Ersetze: C_{3i}^2-R3 durch $C_{3i}^2-R\bar{3}$;	Page 318 T_h^4-Fd3	For C_{3i}^2-R3 read $C_{3i}^2-R\bar{3}$.
Seite 329 $T_d^4-P4_3n$	Ersetze: $C_{2v}^{11}-Cmm$ durch $C_{2v}^{13}-Ccc$;	Page 329 $T_d^4-P4_3n$	For $C_{2v}^{11}-Cmm$ read $C_{2v}^{13}-Ccc$. For C_s^3-Cm read C_s^4-Cc .
Seite 333 $T_d^6-I\bar{4}3d$	Ersetze: C_s^3-Cm durch C_s^4-Cc ;	Page 333 $T_d^6-I\bar{4}3d$	For Cc read Fd .
Seite 346 O^6-P4_33	Ersetze: Fc durch Fd ;	Page 346 O^6-P4_33	For $P4_32$ read $P4_32_1$.
	Ersetze: $P4_32$ durch $P4_32_1$;		For C_2^1 read C_1^1 .
Seite 350 O^7-P4_13	Ersetze: C_2^1 durch C_1^1 ;	Page 350 O^7-P4_13	For $D_4^8-P4_12$ read $D_4^4-P4_12_1$. For $C_4^4-P4_3$ read $C_4^2-P4_1$.
	Ersetze: $D_4^8-P4_12$ durch $D_4^2-P4_12_1$;		For $P2_{12}2_1$ read $P2_{12}2_1$.
	Ersetze: $C_4^4-P4_3$ durch $C_4^2-P4_1$;		
	Ersetze: $P2_{12}2_1$ durch $P2_{12}2_1$;		
Seite 357 O_h^2-Pn3n	Ergänze: C_{2h}^6-C2/c ; C_{2h}^4-P2/n ;	Page 357 O_h^2-Pn3n	Add C_{2h}^6-C2/c , C_{2h}^4-P2/n ; for Pc read Pn .
Seite 360 O_h^3-Pm3n	Ersetze: Pc durch Pn ;	Page 360 O_h^3-Pm3n	Add $C_{4h}^2-P4_2/m$, $S_4^1-P\bar{4}$, $C_4^3-P4_2$. For D_{2v}^1 read C_{2v}^1 .
Seite 362 O_h^4-Pn3m	Ergänze: $C_{4h}^2-P4_2/n$; $S_4^1-P\bar{4}$; $C_4^3-P4_2$;	Page 362 O_h^4-Pn3m	Add $C_{4h}^4-P4_2/n$, $S_4^1-P\bar{4}$, $C_4^3-P4_2$. for Pc read Pn . For $P2/c$ read $P2/n$.
Seite 363 O_h^5-Fm3m	Ersetze: D_{2v}^1 durch C_{2v}^1 ;	Page 363 O_h^5-Fm3m	Add C_{4h}^5-F4/m , S_4^2-F4 , C_4^5-F4 . Delete the last subgroup in line 4: $C_{2v}^{20}-Imm$.
Seite 367 O_h^6-Fm3c	Ergänze: C_{4h}^5-F4/m ; $S_4^2-F\bar{4}$; C_4^5-F4 ;	Page 367 O_h^6-Fm3c	Add C_{4h}^5-F4/m , $S_4^2-F\bar{4}$, C_4^5-F4 . For $F4/mcm$ read $F4/mmc$. For $F4cm$ read $F4mc$.
Seite 369 O_h^7-Fd3m	Ersetze: $F4/mcm$ durch $F4/mmc$;	Page 369 O_h^7-Fd3m	For D_{3d}^5-R3m read D_{3d}^5-R3m . For D_{2h}^{23} read D_{2h}^{28} . Add $C_{4h}^6-F4_1/d$, S_4^2-F4 , $C_4^6-F4_1$.
	Ersetze: $F4cm$ durch $F4mc$;		
	Ersetze: D_{3d}^5-R3m durch $D_{3d}^5-R\bar{3}m$;		
	Ersetze: D_{2h}^{23} durch D_{2h}^{28} ;		
	Ergänze: $C_{4h}^6-F4_1/d$; S_4^2-F4 ; $C_4^6-F4_1$;		
Seite 370 O_h^8-Fd3c	Streiche die letzte Untergruppe der 4. Zeile: $C_{2v}^{21}-Iba$;	Page 370 O_h^8-Fd3c	Delete the last subgroup in line 4: $C_{2v}^{21}-Iba$. Add $C_{4h}^6-F4_1/d$, S_4^2-F4 , $C_4^6-F4_1$. For T_d^4 read T_d^5 .
	Ergänze: $C_{4h}^6-F4_1/d$; S_4^2-F4 ; $C_4^6-F4_1$;		
	Ersetze: T_d^4 durch T_d^5 ;		
Seite 374 O_h^9-Im3m	Ergänze: C_{4h}^5-I4/m ; $S_4^2-I\bar{4}$; C_4^5-I4 ;	Page 374 O_h^9-Im3m	Add C_{4h}^5-I4/m , $S_4^2-I\bar{4}$, C_4^5-I4 . Delete the last subgroup in line 4: $C_{2v}^{18}-Fmm$.
Seite 375 $O_h^{10}-Ia3d$	Streiche die letzte Untergruppe der 4. Zeile $C_{2v}^{19}-Fdd$.	Page 375 $O_h^{10}-Ia3d$	Add $C_{4h}^6-I4_1/a$, $S_4^2-I\bar{4}$, $C_4^6-I4_1$. Delete the last subgroup in line 4: $C_{2v}^{19}-Fdd$.

References

- Internationale Tabellen zur Bestimmung von Kristallstrukturen* (1935), Bd. I. *Gruppentheoretische Tafeln*. Berlin: Borntraeger.
- International Tables for X-ray Crystallography* (1952), Vol. I. Birmingham: Kynoch Press.
- KOPTSIK, V. A. (1966). *Shubnikovskie gruppi*. Moscow University.